

OBROTOWO-SYMETRYCZNE DRGANIA WŁASNE POWŁOKI STOŻKOWEJ Z MATERIAŁU
ŚCISLIWEGO NIELINIOWO SPRĘŻYSTEGO

FERDYNAND TWARDOSZ, TADEUSZ WEGNER (POZNAŃ)

W pracy poddano analizie drgania własne cienkiej powłoki stożkowej wykonanej z materiału jednorodnego, izotropowego i ściśliwego, dla którego zależność pomiędzy naprężeniami i odkształceniami jest nieliniowa, ale odwracalna.

Ograniczając się do analizy małych drgań przyjęto związki geometryczne w postaci liniowej, zakładając przy tym prawdziwość hipotezy Kirchhoffa-Love'a.

1. Podstawowe równania i związki

Równania opisujące swobodne obrotowo-symetryczne drgania podłużne i poprzeczne powłoki stożkowej mają postać [4]

$$(1.1) \quad \begin{cases} N_1 + \frac{\partial N_1}{\partial s} s - N_2 = 2\rho h \frac{\partial^2 u}{\partial t^2} s, \\ 2 \frac{\partial M_1}{\partial s} + \frac{\partial^2 M_1}{\partial s^2} s - \frac{\partial M_2}{\partial s} + N_2 \operatorname{tg} \alpha = -2\rho h \frac{\partial^2 w}{\partial t^2} s, \end{cases}$$

gdzie N_1, N_2, M_1, M_2 oznaczają siły normalne i momenty zginające odniesione do jednostki długości powierzchni środkowej, $u(s, t), w(s, t)$ — składowe przemieszczenia punktów powierzchni środkowej odpowiednio w kierunkach stycznym i normalnym, s — odległość dowolnego punktu powłoki od wierzchołka stożka, α — kąt pomiędzy normalną do powierzchni środkowej i osią powłoki, $2h$ — grubość powłoki, ρ — gęstość materiału powłoki.

Zgodnie z hipotezą Kirchhoffa-Love'a składowe obrotowo-symetrycznego stanu odkształcenia dla elementu warstewki odległej o z od powierzchni środkowej wyrażają się wzorami

$$\begin{aligned} \varepsilon_{1z} &= \varepsilon_1 + z\kappa_1, \\ \varepsilon_{2z} &= \varepsilon_2 + z\kappa_2, \end{aligned}$$

gdzie

$$(1.2) \quad \varepsilon_1 = \frac{\partial u}{\partial s}, \quad \varepsilon_2 = \frac{1}{s}(u + w \operatorname{tg} \alpha)$$

są składowymi stanu odkształcenia powierzchni środkowej powłoki, a wyrażenia

$$(1.3) \quad \kappa_1 = -\frac{\partial^2 w}{\partial s^2}, \quad \kappa_2 = -\frac{1}{s} \frac{\partial w}{\partial s}$$

charakteryzują zmianę głównych krzywizn.

Zajmiemy się z kolei określeniem składowych stanu naprężenia. Potencjał sprężystości ciała izotropowego przedstawia wyrażenie [1]:

$$V(\varepsilon_0, \gamma_0^2) = \Phi_V(\varepsilon_0) + \Phi_I(\gamma_0^2),$$

gdzie

$$\Phi_V(\varepsilon_0) = 9K \int_0^{\varepsilon_0} \varepsilon_0 \kappa(\varepsilon_0) d\varepsilon_0$$

jest pracą odkształcenia objętościowego,

$$\Phi_I(\gamma_0^2) = \frac{3}{2} G \int_0^{\gamma_0} \gamma_0 \gamma(\gamma_0^2) d\gamma_0$$

— pracą odkształcenia postaciowego,

$$\varepsilon_0 = \frac{\varepsilon_{1z} + \varepsilon_{2z} + \varepsilon_{3z}}{3}$$

— średnim wydłużeniem,

$$\gamma_0 = \frac{2}{3} \sqrt{(\varepsilon_{1z} - \varepsilon_{2z})^2 + (\varepsilon_{2z} - \varepsilon_{3z})^2 + (\varepsilon_{3z} - \varepsilon_{1z})^2 + \frac{3}{2}(\gamma_{12z}^2 + \gamma_{23z}^2 + \gamma_{31z}^2)}$$

— intensywnością odkształceń stycznych,

$$K = \frac{E}{3(1-2\nu)}, \quad G = \frac{E}{2(1+\nu)}$$

— modułem ściśliwości i modułem odkształcenia postaciowego.

Moduł Younga E i liczby Poissona ν są stałymi materiałowymi wyznaczonymi przy małych odkształceniach.

Załóżmy, że funkcja wydłużenia $\kappa(\varepsilon_0)$ oraz funkcja odkształcenia postaciowego $\gamma(\gamma_0^2)$ mogą być przedstawione z dostateczną dokładnością w postaci [1]:

$$\kappa(\varepsilon_0) = 1, \quad \gamma(\gamma_0^2) = 1 - g_2 \gamma_0^2,$$

gdzie stałą g_2 wyznacza się doświadczalnie.

Niech dla jednoosiowego rozciągania-ściskania między naprężeniem σ a podłużnym odkształceniem ε zachodzi związek

$$(1.4) \quad \varepsilon = \frac{1}{E} (1 + a_3 \sigma^2) \sigma,$$

wtedy zależność między współczynnikiem a_3 a stałą g_2 ma postać

$$g_2 = \frac{9}{2} G^2 \left(1 + \frac{G}{3K} \right) a_3,$$

lub wyrażając moduły K i G za pomocą stałych E i ν otrzymamy

$$g_2 = \frac{E^2 \nu_0^3}{2} a_3, \quad \text{gdzie} \quad \nu_0 = \frac{3}{2(1+\nu)}.$$

Założone powyżej związki bardzo dobrze aproksymują rzeczywiście zachodzące zależności dla wielu ważnych w zastosowaniach technicznych materiałów (np. miedź, aluminium, stopy miedzi i inne). Stosując oznaczenia

$$\varepsilon_i = \sqrt{\frac{\nu_0}{2}} \gamma_0, \quad \theta = 3\varepsilon_0,$$

potencjał sprężystości wymienionych materiałów można wyrazić w postaci

$$V = \frac{1}{2} K \theta^2 + \int_0^{\varepsilon_i} \sigma_i d\varepsilon_i,$$

gdzie

$$\sigma_i = E(1 - b\varepsilon_i^2)\varepsilon_i, \quad b = a_3 E^2 \nu_0^2.$$

Wielkość θ jest względną zmianą objętości, wielkości σ_i , ε_i są odpowiednio intensywnością naprężeń i intensywnością odkształceń.

Założenie cienkościenności powłoki pozwala, tak samo jak w teorii płyt cienkich, traktować elementy powłoki, jako będące w dwuwymiarowym stanie naprężenia, stąd z uogólnionego prawa Hooke'a, przyjmując $\sigma_{3z} = 0$, otrzymamy

$$\varepsilon_{3z} = -\frac{\nu}{1-\nu}(\varepsilon_{1z} + \varepsilon_{2z}) \quad \theta = \frac{1-2\nu}{1-\nu}(\varepsilon_{1z} + \varepsilon_{2z}),$$

$$\varepsilon_i^2 = \frac{4}{3} \left[\nu_1(\varepsilon_{1z}^2 + \varepsilon_{2z}^2) + \nu_2 \varepsilon_{1z} \varepsilon_{2z} + \frac{1}{4} \nu_0 \gamma_{12z}^2 \right],$$

gdzie oznaczono

$$\nu_1 = \frac{1}{3} \left[\frac{\nu}{(1-\nu)^2} + 1 \right] \nu_0, \quad \nu_2 = \frac{1}{3} \left[\frac{2\nu}{(1-\nu)^2} - 1 \right] \nu_0.$$

Ponieważ w przypadku drgań obrotowo-symetrycznych podłużnych i poprzecznych $\gamma_{12z} = 0$, to

$$\varepsilon_i^2 = \frac{4}{3} (a_0 + z a_1 + z^2 a_2),$$

gdzie

$$a_0 = \nu_1(\varepsilon_1^2 + \varepsilon_2^2) + \nu_2 \varepsilon_1 \varepsilon_2,$$

$$a_1 = 2\nu_1(\varepsilon_1 \kappa_1 + \varepsilon_2 \kappa_2) + \nu_2(\varepsilon_1 \kappa_2 + \varepsilon_2 \kappa_1),$$

$$a_2 = \nu_1(\kappa_1^2 + \kappa_2^2) + \nu_2 \kappa_1 \kappa_2.$$

Pochodne cząstkowe funkcji $V(\varepsilon_{1z}, \varepsilon_{2z})$ określają składowe stanu naprężenia

$$\sigma_{1z} = \frac{\partial V}{\partial \varepsilon_{1z}}, \quad \sigma_{2z} = \frac{\partial V}{\partial \varepsilon_{2z}},$$

stąd

$$\begin{aligned}\sigma_{1z} &= \frac{4}{3}E[\nu_3\varepsilon_1 + \nu_4\varepsilon_2 + z(\nu_3\kappa_1 + \nu_4\kappa_2)] - \frac{16}{9}Eb \left\{ a_0 \left(\nu_1\varepsilon_1 + \frac{1}{2}\nu_2\varepsilon_2 \right) + \right. \\ &\quad \left. + z \left[a_0 \left(\nu_1\kappa_1 + \frac{1}{2}\nu_2\kappa_2 \right) + a_1 \left(\nu_1\varepsilon_1 + \frac{1}{2}\nu_2\varepsilon_2 \right) \right] + z^2 \left[a_1 \left(\nu_1\kappa_1 + \frac{1}{2}\nu_2\kappa_2 \right) + \right. \right. \\ &\quad \left. \left. + a_2 \left(\nu_1\varepsilon_1 + \frac{1}{2}\nu_2\varepsilon_2 \right) \right] + z^3 a_2 \left(\nu_1\kappa_1 + \frac{1}{2}\nu_2\kappa_2 \right) \right\}, \\ \sigma_{2z} &= \frac{4}{3}E[\nu_3\varepsilon_3 + \nu_4\varepsilon_1 + z(\nu_3\kappa_2 + \nu_4\kappa_1)] - \frac{16}{9}Eb \left\{ a_0 \left(\nu_1\varepsilon_2 + \frac{1}{2}\nu_2\varepsilon_1 \right) + \right. \\ &\quad \left. + z \left[a_0 \left(\nu_1\kappa_2 + \frac{1}{2}\nu_2\kappa_1 \right) + a_1 \left(\nu_1\varepsilon_2 + \frac{1}{2}\nu_2\varepsilon_1 \right) \right] + z^2 \left[a_1 \left(\nu_1\kappa_2 + \frac{1}{2}\nu_2\kappa_1 \right) + \right. \right. \\ &\quad \left. \left. + a_2 \left(\nu_1\varepsilon_2 + \frac{1}{2}\nu_2\varepsilon_1 \right) \right] + z^3 a_2 \left(\nu_1\kappa_2 + \frac{1}{2}\nu_2\kappa_1 \right) \right\},\end{aligned}$$

natomiast

$$\nu_3 = \nu_1 + \frac{1-2\nu}{4(1-\nu)^2}, \quad \nu_4 = \frac{1}{2}\nu_2 + \frac{1-2\nu}{4(1-\nu)^2}.$$

Dla cienkich powłok siły i momenty działające w przekrojach powłoki na jednostkę długości powierzchni środkowej związane są (w przybliżeniu) z naprężeniami zależnościami

$$\begin{aligned}N_1 &= \int_{-h}^h \sigma_{1z} dz, & N_2 &= \int_{-h}^h \sigma_{2z} dz, \\ M_1 &= - \int_{-h}^h \sigma_{1z} z dz, & M_2 &= - \int_{-h}^h \sigma_{2z} z dz,\end{aligned}$$

stąd po wykonaniu całkowania mamy:

$$\begin{aligned}N_1 &= \bar{B}(\nu_3\varepsilon_1 + \nu_4\varepsilon_2) - \bar{B}_1 a_0 \left(\nu_1\varepsilon_1 + \frac{1}{2}\nu_2\varepsilon_2 \right) - \bar{B}_2 \left[a_1 \left(\nu_1\kappa_1 + \frac{1}{2}\nu_2\kappa_2 \right) + a_2 \left(\nu_1\varepsilon_1 + \frac{1}{2}\nu_2\varepsilon_2 \right) \right], \\ N_2 &= \bar{B}(\nu_3\varepsilon_3 + \nu_4\varepsilon_1) - \bar{B}_1 a_0 \left(\nu_1\varepsilon_2 + \frac{1}{2}\nu_2\varepsilon_1 \right) - \bar{B}_2 \left[a_1 \left(\nu_1\kappa_2 + \frac{1}{2}\nu_2\kappa_1 \right) + a_2 \left(\nu_1\varepsilon_2 + \frac{1}{2}\nu_2\varepsilon_1 \right) \right], \\ M_1 &= -\bar{D}(\nu_3\kappa_1 + \nu_4\kappa_2) + \bar{B}_2 \left[a_0 \left(\nu_1\kappa_1 + \frac{1}{2}\nu_2\kappa_2 \right) + a_1 \left(\nu_1\varepsilon_1 + \frac{1}{2}\nu_2\varepsilon_2 \right) \right] + \\ &\quad + \bar{B}_3 a_2 \left(\nu_1\kappa_1 + \frac{1}{2}\nu_2\kappa_2 \right), \\ M_2 &= -\bar{D}(\nu_3\kappa_2 + \nu_4\kappa_1) + \bar{B}_2 \left[a_0 \left(\nu_1\kappa_2 + \frac{1}{2}\nu_2\kappa_1 \right) + a_1 \left(\nu_1\varepsilon_2 + \frac{1}{2}\nu_2\varepsilon_1 \right) \right] + \\ &\quad + \bar{B}_3 a_2 \left(\nu_1\kappa_2 + \frac{1}{2}\nu_2\kappa_1 \right),\end{aligned}$$

gdzie

$$\bar{B} = \frac{8}{3} Eh, \quad \bar{D} = \frac{8}{9} Eh^3, \quad \bar{B}_1 = \frac{32}{9} Ebh, \quad \bar{B}_2 = \frac{32}{77} Ebh^3, \quad \bar{B}_3 = \frac{32}{45} Ebh^5.$$

Jeżeli podstawimy powyższe zależności do układu równań (1.1), a występujące w nich wielkości $a_0, a_1, a_2, \varepsilon_1, \varepsilon_2, \nu_1, \nu_2$ wyrazimy przez u i w za pomocą związków (1.5), (1.2) i (1.3), otrzymamy poszukiwane równania obrotowo-symetrycznych drgań powłoki stożkowej w następującej postaci:

$$\begin{aligned} & \left. \begin{aligned} & \bar{B} \left[\nu_3 \frac{\partial^2 u}{\partial s^2} + \frac{1}{s} \left(\nu_3 \frac{\partial u}{\partial s} + \nu_4 \operatorname{tg} \alpha \frac{\partial w}{\partial s} \right) - \frac{1}{s^2} \nu_3 (u + \operatorname{tg} \alpha w) \right] - \bar{B}_1 \left\{ 3\nu_1^2 \frac{\partial^2 u}{\partial s^2} \left(\frac{\partial u}{\partial s} \right)^2 + \right. \\ & + \frac{1}{s} \left[3\nu_1 \nu_2 \left(\frac{\partial^2 u}{\partial s^2} \frac{\partial u}{\partial s} u + \operatorname{tg} \alpha \frac{\partial^2 u}{\partial s^2} \frac{\partial u}{\partial s} w + \frac{1}{2} \operatorname{tg} \alpha \left(\frac{\partial u}{\partial s} \right)^2 \frac{\partial w}{\partial s} \right) + \nu_1 (\nu_1 + \nu_2) \left(\frac{\partial u}{\partial s} \right)^3 \right] + \\ & + \frac{1}{s^2} \left(\nu_1^2 + \frac{1}{2} \nu_2^2 \right) \left(\frac{\partial^2 u}{\partial s^2} u^2 + 2 \operatorname{tg} \alpha \frac{\partial^2 u}{\partial s^2} u w + \operatorname{tg}^2 \alpha \frac{\partial^2 u}{\partial s^2} w^2 + \left(\frac{\partial u}{\partial s} \right)^2 u + \operatorname{tg} \alpha \left(\frac{\partial u}{\partial s} \right)^2 w + \right. \\ & + 2 \operatorname{tg} \alpha \frac{\partial u}{\partial s} u \frac{\partial w}{\partial s} + 2 \operatorname{tg}^2 \alpha \frac{\partial u}{\partial s} \frac{\partial w}{\partial s} w \left. \right) + \frac{1}{s^3} \left[\frac{3}{2} \nu_1 \nu_2 \operatorname{tg} \alpha \left(u^2 \frac{\partial w}{\partial s} + 2 \operatorname{tg} \alpha u \frac{\partial w}{\partial s} w + \right. \right. \\ & \left. \left. + \operatorname{tg}^2 \alpha \frac{\partial w}{\partial s} w^2 \right) - \left(\nu_1^2 + \frac{1}{2} \nu_2^2 \right) \left(\frac{\partial u}{\partial s} u^2 + 2 \operatorname{tg} \alpha \frac{\partial u}{\partial s} u w + \operatorname{tg}^2 \alpha \frac{\partial u}{\partial s} w^2 \right) \right] - \\ & - \frac{1}{s^4} \nu_1 (\nu_1 + \nu_2) (u^3 + 3 \operatorname{tg} \alpha u^2 w + 3 \operatorname{tg}^2 \alpha u w^2 + \operatorname{tg}^3 \alpha w^3) \left. \right\} - \bar{B}_2 \left\{ 3\nu_1^2 \left(\frac{\partial^2 u}{\partial s^2} \left(\frac{\partial^2 w}{\partial s^2} \right)^2 + \right. \right. \\ & + 2 \frac{\partial u}{\partial s} \frac{\partial^3 w}{\partial s^3} \frac{\partial^2 w}{\partial s^2} \left. \right) + \frac{3}{5} \left[\nu_1 \nu_2 \left(\frac{\partial^2 u}{\partial s^2} \frac{\partial^2 w}{\partial s^2} \frac{\partial w}{\partial s} + \frac{\partial u}{\partial s} \frac{\partial^3 w}{\partial s^3} \frac{\partial w}{\partial s} + u \frac{\partial^3 w}{\partial s^3} \frac{\partial^2 w}{\partial s^2} + \right. \right. \\ & + \operatorname{tg} \alpha \frac{\partial^3 w}{\partial s^3} \frac{\partial^2 w}{\partial s^2} w + \frac{1}{2} \operatorname{tg} \alpha \left(\frac{\partial^2 w}{\partial s^2} \right)^2 \frac{\partial w}{\partial s} \left. \right) + \nu_1 (\nu_1 + \nu_2) \frac{\partial u}{\partial s} \left(\frac{\partial^2 w}{\partial s^2} \right)^2 \left. \right] + \\ & + \frac{1}{s^2} \left(\nu_1^2 + \frac{1}{2} \nu_2^2 \right) \left(\frac{\partial^2 u}{\partial s^2} \left(\frac{\partial w}{\partial s} \right)^2 + 2 \frac{\partial u}{\partial s} \frac{\partial^2 w}{\partial s^2} \frac{\partial w}{\partial s} + 2u \frac{\partial^3 w}{\partial s^3} \frac{\partial w}{\partial s} + u \left(\frac{\partial^2 w}{\partial s^2} \right)^2 + \right. \\ & + 2 \operatorname{tg} \alpha \frac{\partial^3 w}{\partial s^3} \frac{\partial w}{\partial s} w + \operatorname{tg} \alpha \left(\frac{\partial^2 w}{\partial s^2} \right)^2 w + 2 \operatorname{tg} \alpha \frac{\partial^2 w}{\partial s^2} \left(\frac{\partial w}{\partial s} \right)^2 + \frac{1}{s^3} \left[\frac{3}{2} \nu_1 \nu_2 \operatorname{tg} \alpha \left(\frac{\partial w}{\partial s} \right)^3 - \right. \\ & \left. - \left(\nu_1^2 + \frac{1}{2} \nu_2^2 \right) \left(\frac{\partial u}{\partial s} \left(\frac{\partial w}{\partial s} \right)^2 + 2u \frac{\partial^2 w}{\partial s^2} \frac{\partial w}{\partial s} + 2 \operatorname{tg} \alpha \frac{\partial^2 w}{\partial s^2} \frac{\partial w}{\partial s} w \right) \right] - \\ & \left. - \frac{3}{s^4} \nu_1 (\nu_1 + \nu_2) \left(u \left(\frac{\partial w}{\partial s} \right)^2 + \operatorname{tg} \alpha \left(\frac{\partial w}{\partial s} \right)^2 w \right) \right\} = 2 \rho h \frac{\partial^2 u}{\partial t^2}, \\ & \bar{B} \operatorname{tg} \alpha \left[\frac{1}{s} \nu_4 \frac{\partial u}{\partial s} + \frac{1}{s^2} \nu_3 (u + \operatorname{tg} \alpha w) \right] + \bar{D} \nu_3 \left(\frac{\partial^4 w}{\partial s^4} + \frac{2}{s} \frac{\partial^3 w}{\partial s^3} - \frac{1}{s^2} \frac{\partial^2 w}{\partial s^2} + \frac{1}{s^3} \frac{\partial w}{\partial s} \right) - \\ & - \bar{B}_1 \operatorname{tg} \alpha \left[\frac{1}{2s} \nu_1 \nu_2 \left(\frac{\partial u}{\partial s} \right)^3 + \frac{1}{s^2} \left(\nu_1^2 + \frac{1}{2} \nu_2^2 \right) \left(\left(\frac{\partial u}{\partial s} \right)^2 u + \operatorname{tg} \alpha \left(\frac{\partial u}{\partial s} \right)^2 w \right) + \right. \end{aligned} \end{aligned}$$

$$\begin{aligned}
& \left. \begin{aligned}
& \frac{3}{2s^3} \nu_1 \nu_2 \left(\frac{\partial u}{\partial s} u^2 + 2 \operatorname{tg} \alpha \frac{\partial u}{\partial s} u w + \operatorname{tg}^2 \alpha \frac{\partial u}{\partial s} w^2 \right) + \frac{1}{s^4} \nu_1^2 (u^3 + 3 \operatorname{tg} \alpha u^2 w + 3 \operatorname{tg}^2 \alpha u w^2 + \\
& + \operatorname{tg}^3 \alpha w^3) \left. \right] - \bar{B}_2 \left\{ 3 \nu_1^2 \left[2 \frac{\partial^3 u}{\partial s^3} \frac{\partial u}{\partial s} \frac{\partial^2 w}{\partial s^2} + 2 \left(\frac{\partial^2 u}{\partial s^2} \right)^2 \frac{\partial^2 w}{\partial s^2} + 4 \frac{\partial^2 u}{\partial s^2} \frac{\partial u}{\partial s} \frac{\partial^3 w}{\partial s^3} + \right. \right. \\
& + \left. \left(\frac{\partial u}{\partial s} \right)^2 \frac{\partial^4 w}{\partial s^4} \right] + \frac{3}{s} \left[\nu_1 \nu_2 \left(\frac{\partial^3 u}{\partial s^3} \frac{\partial u}{\partial s} \frac{\partial w}{\partial s} + \frac{\partial^3 u}{\partial s^3} u \frac{\partial^2 w}{\partial s^2} + \operatorname{tg} \alpha \frac{\partial^3 u}{\partial s^3} \frac{\partial^2 w}{\partial s^2} w + \right. \right. \\
& + \left. \left(\frac{\partial^2 u}{\partial s^2} \right)^2 \frac{\partial w}{\partial s} + 2 \frac{\partial^2 u}{\partial s^2} u \frac{\partial^3 w}{\partial s^3} + 2 \operatorname{tg} \alpha \frac{\partial^2 u}{\partial s^2} \frac{\partial^3 w}{\partial s^3} w + 2 \operatorname{tg} \alpha \frac{\partial^2 u}{\partial s^2} \frac{\partial^2 w}{\partial s^2} \frac{\partial w}{\partial s} + \right. \\
& + \left. \frac{\partial u}{\partial s} u \frac{\partial^4 w}{\partial s^4} + \operatorname{tg} \alpha \frac{\partial u}{\partial s} \frac{\partial^4 w}{\partial s^4} w + 2 \operatorname{tg} \alpha \frac{\partial u}{\partial s} \frac{\partial^3 w}{\partial s^3} \frac{\partial w}{\partial s} + \frac{3}{2} \operatorname{tg} \alpha \frac{\partial u}{\partial s} \left(\frac{\partial^2 w}{\partial s^2} \right)^2 \right] + \\
& + 2 \nu_1 (\nu_1 + \nu_2) \left[2 \frac{\partial^2 u}{\partial s^2} \frac{\partial u}{\partial s} \frac{\partial^2 w}{\partial s^2} + \left(\frac{\partial u}{\partial s} \right)^2 \frac{\partial^3 w}{\partial s^3} \right] + \frac{1}{s^2} \left(\nu_1^2 + \frac{1}{2} \nu_2^2 \right) \left[2 \frac{\partial^3 u}{\partial s^3} u \frac{\partial w}{\partial s} + \right. \\
& + 2 \operatorname{tg} \alpha \frac{\partial^3 u}{\partial s^3} \frac{\partial w}{\partial s} w + 4 \frac{\partial^2 u}{\partial s^2} \frac{\partial u}{\partial s} \frac{\partial w}{\partial s} + 4 \frac{\partial^2 u}{\partial s^2} u \frac{\partial^2 w}{\partial s^2} + 4 \operatorname{tg} \alpha \frac{\partial^2 u}{\partial s^2} \frac{\partial^2 w}{\partial s^2} w + \\
& + 4 \operatorname{tg} \alpha \frac{\partial^2 u}{\partial s^2} \left(\frac{\partial w}{\partial s} \right)^2 + 3 \left(\frac{\partial u}{\partial s} \right)^2 \frac{\partial^2 w}{\partial s^2} + 4 \frac{\partial u}{\partial s} u \frac{\partial^3 w}{\partial s^3} + 4 \operatorname{tg} \alpha \frac{\partial u}{\partial s} \frac{\partial^3 w}{\partial s^3} w + \\
& + 10 \operatorname{tg} \alpha \frac{\partial u}{\partial s} \frac{\partial^2 w}{\partial s^2} \frac{\partial w}{\partial s} + u^2 \frac{\partial^4 w}{\partial s^4} + 2 \operatorname{tg} \alpha u \frac{\partial^4 w}{\partial s^4} w + 4 \operatorname{tg} \alpha u \frac{\partial^3 w}{\partial s^3} \frac{\partial w}{\partial s} + 3 \operatorname{tg} \alpha u \left(\frac{\partial^2 w}{\partial s^2} \right)^2 + \\
& + \operatorname{tg}^2 \alpha \frac{\partial^4 w}{\partial s^4} w^2 + 4 \operatorname{tg}^2 \alpha \frac{\partial^3 w}{\partial s^3} \frac{\partial w}{\partial s} w + 3 \operatorname{tg}^2 \alpha \left(\frac{\partial^2 w}{\partial s^2} \right)^2 w + 2 \operatorname{tg}^2 \alpha \frac{\partial^2 w}{\partial s^2} \left(\frac{\partial w}{\partial s} \right)^2 \left. \right] + \\
& + \frac{1}{s^3} \left[(9 \nu_1 \nu_2 - 4 \nu_1^2 - 2 \nu_2^2) \operatorname{tg} \alpha \left(u \frac{\partial^2 w}{\partial s^2} \frac{\partial w}{\partial s} + \operatorname{tg} \alpha \frac{\partial^2 w}{\partial s^2} \frac{\partial w}{\partial s} w \right) + \right. \\
& + \left. \left(\frac{9}{2} \nu_1 \nu_2 - 4 \nu_1^2 - 2 \nu_2^2 \right) \operatorname{tg} \alpha \frac{\partial u}{\partial s} \left(\frac{\partial w}{\partial s} \right)^2 + 3 \nu_1 \nu_2 \operatorname{tg}^2 \alpha \left(\frac{\partial w}{\partial s} \right)^3 - \right. \\
& - \left. \left(\nu_1^2 + \frac{1}{2} \nu_2^2 \right) \left(4 \frac{\partial^2 u}{\partial s^2} u \frac{\partial w}{\partial s} + 4 \operatorname{tg} \alpha \frac{\partial^2 u}{\partial s^2} \frac{\partial w}{\partial s} w + 3 \left(\frac{\partial u}{\partial s} \right)^2 \frac{\partial w}{\partial s} + 6 \frac{\partial u}{\partial s} u \frac{\partial^2 w}{\partial s^2} + \right. \right. \\
& + \left. \left. 6 \operatorname{tg} \alpha \frac{\partial u}{\partial s} \frac{\partial^2 w}{\partial s^2} w + 2 \nu_1 u^2 \frac{\partial^3 w}{\partial s^3} + 4 \operatorname{tg} \alpha u \frac{\partial^3 w}{\partial s^3} w + 2 \operatorname{tg}^2 \alpha \frac{\partial^3 w}{\partial s^3} w^2 \right) \right] - \\
& - \frac{1}{s^4} \left[(3 \nu_1 \nu_2 + \nu_1^2 - \nu_2^2) \left(2 \frac{\partial u}{\partial s} u \frac{\partial w}{\partial s} + 2 \operatorname{tg} \alpha \frac{\partial u}{\partial s} \frac{\partial w}{\partial s} w + u^2 \frac{\partial^2 w}{\partial s^2} + 2 \operatorname{tg} \alpha u \frac{\partial^2 w}{\partial s^2} w + \right. \right. \\
& + \left. \operatorname{tg}^2 \alpha \frac{\partial^2 w}{\partial s^2} w^2 \right) + 3 \nu_1 (\nu_1 + 4 \nu_2) \operatorname{tg} \alpha \left(u \left(\frac{\partial w}{\partial s} \right)^2 + \operatorname{tg} \alpha \left(\frac{\partial w}{\partial s} \right)^2 w \right) \left. \right] + \\
& + \frac{9}{s^5} \nu_1 (\nu_1 + \nu_2) \left(u^2 \frac{\partial w}{\partial s} + 2 \operatorname{tg} \alpha u \frac{\partial w}{\partial s} w + \operatorname{tg}^2 \alpha \frac{\partial w}{\partial s} w^2 \right) \left. \right\} - \bar{B}_3 \left\{ 3 \nu_1^2 \left(\frac{\partial^4 w}{\partial s^4} \left(\frac{\partial^2 w}{\partial s^2} \right)^2 + \right. \right. \\
& + \left. \left. 2 \left(\frac{\partial^3 w}{\partial s^3} \right)^2 \frac{\partial^2 w}{\partial s^2} \right) + \frac{3}{s} \left[\nu_1 \nu_2 \left(\frac{\partial^4 w}{\partial s^4} \frac{\partial^2 w}{\partial s^2} \frac{\partial w}{\partial s} + \left(\frac{\partial^3 w}{\partial s^3} \right)^2 \frac{\partial w}{\partial s} \right) + \right. \right.
\end{aligned}
\end{aligned}$$

(1.6)
[cd.]

$$(1.6) \left\{ \begin{aligned} & + 2\nu_1(\nu_1 + \nu_2) \left[\frac{\partial^3 w}{\partial s^3} \left(\frac{\partial^2 w}{\partial s^2} \right)^2 \right] + \frac{1}{s^2} \nu_1^2 + \frac{1}{2} \nu_2^2 \left(\frac{\partial^4 w}{\partial s^4} \left(\frac{\partial w}{\partial s} \right)^2 + 4 \frac{\partial^3 w}{\partial s^3} \frac{\partial^2 w}{\partial s^2} \frac{\partial w}{\partial s} + \right. \\ & \quad \left. + \left(\frac{\partial^2 w}{\partial s^2} \right)^3 \right) - \frac{1}{s^3} \left(\nu_1^2 + \frac{1}{2} \nu_2^2 \right) \left(2 \frac{\partial^3 w}{\partial s^3} \left(\frac{\partial w}{\partial s} \right)^2 + 3 \left(\frac{\partial^2 w}{\partial s^2} \right)^2 \frac{\partial w}{\partial s} \right) - \\ & \quad \left. - \frac{1}{s^4} (3\nu_1\nu_2 + \nu_1^2 - \nu_2^2) \frac{\partial^2 w}{\partial s^2} \left(\frac{\partial w}{\partial s} \right)^2 + \frac{3}{s^5} \nu_1(\nu_1 + \nu_2) \left(\frac{\partial w}{\partial s} \right)^3 \right\} = -2\rho h \frac{\partial^2 w}{\partial t^2}. \end{aligned} \right. \quad [\text{cd.}]$$

2. Przybliżone całkowanie równań ruchu

Układ równań (1.6) scałkujemy w sposób przybliżony metodą Bubnowa-Galerkina. W przypadku powłoki stożkowej z wierzchołkiem ściętym, o swobodnie podpartych krawędziach, zakładamy funkcje u , w w postaci sumy

$$(2.1) \quad \begin{aligned} u(s, t) &= \sum_{m=1}^{\infty} U_m(t) f_m(s), \\ w(s, t) &= \sum_{m=1}^{\infty} W_m(t) g_m(s), \end{aligned}$$

gdzie $U_m(t)$, $W_m(t)$ są nieznanymi funkcjami czasu, natomiast $f_m(s)$ i $g_m(s)$ przyjmujemy w postaci

$$(2.2) \quad f_m(s) = \cos m\pi \frac{s-s_1}{l}, \quad g_m(s) = \sin m\pi \frac{s-s_1}{l}.$$

Funkcje (2.2) spełniają tylko kinematyczne warunki na brzegach powłoki, natomiast warunki statyczne są spełnione w przybliżeniu [3].

Po wykonaniu całkowań i uporządkowaniu oraz wprowadzeniu wielkości bezwymiarowych

$$(2.3) \quad X = \frac{U_m}{l}, \quad Z = \frac{W_m}{l}, \quad \tau = \omega t, \quad \theta = \frac{\omega}{\omega_0},$$

gdzie ω jest pulsacją podstawową drgań rozważanego układu, $\omega_0^2 = \frac{E}{\rho l^2}$, a θ bezwymiarową częstotliwością drgań, otrzymamy dla każdego m dwa nieliniowe równania różniczkowe zwyczajne względem funkcji X, Z

$$(2.4) \quad \begin{cases} \theta^2 \frac{d^2 X}{d\tau^2} + \beta_0 X - \beta_1 Z = b(\beta_2 X^3 - \beta_3 X^2 Z + \beta_4 X Z^2 - \beta_5 Z^3), \\ \theta^2 \frac{d^2 Z}{d\tau^2} + \gamma_0 Z - \gamma_1 X = b(-\gamma_2 X^3 + \gamma_3 X^2 Z - \gamma_4 X Z^2 + \gamma_5 Z^3). \end{cases}$$

Poszczególne współczynniki układu (2.4) mają następujące wartości:

$$\begin{aligned} \beta_0 &= \frac{c_2}{c_1}, & \gamma_0 &= \frac{d_2 r^2 + g d_3}{d_1}, \\ \beta_1 &= \frac{c_3 r}{c_1}, & \gamma_1 &= \frac{d_4 r}{d_1}, \end{aligned}$$

$$\begin{aligned}\beta_2 &= \frac{c_4}{c_1}, & \gamma_2 &= \frac{d_5 r}{d_1}, \\ \beta_3 &= \frac{c_5 r}{c_1}, & \gamma_3 &= \frac{d_6 r^2 + g d_7}{d_1}, \\ \beta_4 &= \frac{c_6 r^2 + g c_7}{c_1}, & \gamma_4 &= \frac{d_8 r^3 + g d_9 r}{d_1}, \\ \beta_5 &= \frac{c_8 r^3 + g c_9 r}{c_1}, & \gamma_5 &= \frac{d_{10} r^4 + g d_{11} r^2 + g^2 d_{12}}{d_1},\end{aligned}$$

tu
$$r = \frac{1}{\mu}, \quad g = \left(\frac{\chi}{2}\right)^2, \quad \mu = \frac{R_1}{l}, \quad \chi = \frac{2h}{l},$$

$$c_1 = 1 + 2k + 2\left(1 + \frac{3}{2p^2}\right)k^2 + \left(1 + \frac{3}{p^2}\right)k^3 + \frac{1}{5}\left(1 + \frac{5}{p^2} - \frac{15}{2p^4}\right)k^4,$$

$$c_2 = v_3 \frac{4p^2}{3} \left[1 + 2k + 2\left(1 + \frac{5}{4p^2}\right)k^2 + \left(1 + \frac{5}{2p^2}\right)k^3 + \frac{1}{5}\left(1 + \frac{25}{6p^2} - \frac{5}{4p^4}\right)k^4\right],$$

$$c_3 = v_3 \frac{4}{3p} k^2 \left(1 + \frac{1}{2}k\right) + v_4 \frac{4p}{3} \left[1 + \frac{3}{2}k + \left(1 + \frac{3}{2p^2}\right)k^2 + \frac{1}{4}\left(1 + \frac{3}{p^2}\right)k^3\right],$$

$$\begin{aligned}c_4 &= v_1 v_2 4p^2 k^2 \left[1 + k + \frac{1}{3}\left(1 - \frac{1}{8p^2}\right)k^2\right] + v_1^2 \frac{4p^4}{3} \left[1 + 2k + 2\left(1 - \frac{5}{12p^2}\right)k^2 + \right. \\ &\quad \left. + \left(1 - \frac{5}{6p^2}\right)k^3 + \frac{1}{5}\left(1 - \frac{25}{18p^2} + \frac{655}{49p^4}\right)k^4\right] + v_2^2 \frac{4p^2}{9} k^2 \left[1 + k + \frac{1}{3}\left(1 + \frac{21}{4p^2}\right)k^2\right],\end{aligned}$$

$$\begin{aligned}c_5 &= v_1 v_2 2p^3 \left[1 + \frac{3}{2}k + \left(1 + \frac{5}{8p^2}\right)k^2 + \frac{1}{4}\left(1 + \frac{5}{4p^2}\right)k^3\right] + v_1^2 \frac{14p}{3} k^2 \left(1 + \frac{1}{2}k\right) + \\ &\quad + v_2^2 \frac{7p}{3} k^2 \left(1 + \frac{1}{2}k\right),\end{aligned}$$

$$c_6 = v_1 v_2 3k^2 + v_1^2 \frac{4p^2}{3} \left[1 + k + \frac{1}{3}\left(1 + \frac{27}{8p^2}\right)k^2\right] + v_2^2 \frac{2p^2}{3} \left[1 + k + \frac{1}{3}\left(1 + \frac{3}{8p^2}\right)k^2\right],$$

$$c_7 = p^2 c_4, \quad c_8 = v_1 v_2 \frac{2p}{3} \left(1 + \frac{1}{2}k\right), \quad c_9 = \frac{p^2}{3} c_5,$$

$$\begin{aligned}d_1 &= 1 + \frac{5}{2}k + \frac{10}{3}\left(1 - \frac{3}{2p^2}\right)k^2 + \frac{5}{2}\left(1 - \frac{3}{p^2}\right)k^3 + \left(1 - \frac{5}{p^2} + \frac{15}{2p^4}\right)k^4 + \\ &\quad + \frac{1}{6}\left(1 - \frac{15}{2p^2} + \frac{45}{2p^4}\right)k^5,\end{aligned}$$

$$d_2 = v_3 \frac{4}{3} \left[1 + \frac{3}{2}k + \left(1 - \frac{3}{2p^2}\right)k^2 + \frac{1}{4}\left(1 - \frac{3}{2p^2}\right)k^3\right],$$

$$d_3 = v_3 \frac{4p^4}{9} \left[1 + \frac{5}{2}k + \frac{10}{3}k^2 + \frac{5}{2}k^3 + \left(1 - \frac{1}{p^4}\right)k^4 + \frac{1}{6}\left(1 - \frac{3}{p^4}\right)k^5\right],$$

$$d_4 = \nu_3 \frac{2}{p} k^2 \left[1 + k + \frac{1}{3} \left(1 - \frac{3}{2p^2} \right) k^2 \right] + \nu_4 \frac{4p}{3} \left[1 + 2k + 2 \left(1 - \frac{3}{2p^3} \right) k^2 + \right. \\ \left. + \left(1 - \frac{3}{p^2} \right) k^3 + \frac{1}{5} \left(1 - \frac{5}{p^2} + \frac{15}{2p^4} \right) k^4 \right],$$

$$d_5 = \nu_1 \nu_2 \frac{2p^3}{3} \left[1 + 2k + 2 \left(1 - \frac{11}{8p^2} \right) k^2 + \left(1 - \frac{11}{4p^2} \right) k^3 + \frac{1}{5} \left(1 - \frac{55}{12p^2} + \right. \right. \\ \left. \left. + \frac{295}{32p^4} \right) k^4 \right] + \nu_1^2 p k^2 \left[1 + k + \frac{1}{3} \left(1 - \frac{5}{24p^2} \right) k^2 \right] + \nu_2^2 \frac{p}{2} k^2 \left[1 + k + \frac{1}{3} \left(1 - \frac{15}{8p^2} \right) k^2 \right],$$

$$d_6 = \nu_1 \nu_2 2k^2 \left(1 + \frac{1}{2} k \right) + \nu_1^2 \frac{4p^2}{3} \left[1 + \frac{3}{2} k + \left(1 - \frac{7}{8p^2} \right) k^2 + \frac{1}{4} \left(1 - \frac{7}{4p^2} \right) k^3 \right] + \\ + \nu_2^2 \frac{2p^2}{3} \left[1 + \frac{3}{2} k + \left(1 - \frac{15}{8p^2} \right) k^2 + \frac{1}{4} \left(1 - \frac{15}{4p^2} \right) k^3 \right],$$

$$d_7 = \nu_1 \nu_2 \frac{16p^4}{3} k^3 \left[1 + \frac{3}{2} k + \left(1 - \frac{19}{8p^2} \right) k^2 + \frac{1}{4} \left(1 - \frac{19}{4p^2} \right) k^3 \right] + \nu_1^2 \frac{4p^6}{3} \left[1 + \frac{5}{2} k + \right. \\ \left. + \frac{10}{3} \left(1 - \frac{23}{8p^2} \right) k^2 + \frac{5}{2} \left(1 - \frac{23}{4p^2} \right) k^3 + \left(1 - \frac{115}{12p^5} + \frac{1801}{96p^4} \right) k^4 + \frac{1}{6} \left(1 - \frac{115}{8p^2} + \right. \right. \\ \left. \left. + \frac{1801}{32p^4} \right) k^5 \right] + \nu_2^2 \frac{4p^4}{9} k \left[1 + \frac{3}{2} k + \left(1 + \frac{5}{8p^2} k^2 + \frac{1}{4} \left(1 + \frac{5}{4p^2} \right) k^3 \right) \right],$$

$$d_8 = \nu_1 \nu_2 2pk^2 \left[1 + k + \frac{1}{3} \left(1 - \frac{15}{8p^2} \right) k^2 \right] + \nu_1^2 \frac{1}{p} k^2,$$

$$d_9 = \nu_1 \nu_2 2p^5 \left[1 + 2k + 2 \left(1 - \frac{27}{8p^2} \right) k^2 + \left(1 - \frac{27}{4p^2} \right) k^3 + \frac{1}{5} \left(1 - \frac{45}{4p^2} + \frac{3695}{288p^4} \right) k^4 \right] + \\ + \nu_1^2 \frac{113p^3}{27} k^2 \left[1 + k + \frac{1}{3} \left(1 - \frac{4839}{904p^2} \right) k^2 \right] + \nu_2^2 \frac{113p^3}{54} k^2 \left[1 + k + \frac{1}{3} \left(1 - \frac{3615}{904p^2} \right) k^2 \right],$$

$$d_{10} = \nu_1^2 \frac{4}{3} \left(1 + \frac{1}{2} k \right),$$

$$d_{11} = \nu_1 \nu_2 \frac{20p^2}{9} k^2 \left(1 + \frac{1}{2} k \right) + \nu_1^2 \frac{8p^4}{9} \left[1 + \frac{3}{2} k + \left(1 - \frac{39}{8p^2} \right) k^2 + \frac{1}{4} \left(1 - \frac{39}{4p^2} \right) k^3 \right] + \\ + \nu_2^2 \frac{4p^4}{9} \left[1 + \frac{3}{2} k + \left(1 - \frac{47}{8p^2} \right) k^2 + \frac{1}{4} \left(1 - \frac{47}{4p^2} \right) k^3 \right],$$

$$d_{12} = \frac{p^2}{5} d_7,$$

przy czym

$$p = m\pi, \quad k = \operatorname{rtg}\beta, \quad \beta = \frac{\pi}{2} - \alpha.$$

Rozwiązania szczególnego układu równań (2.6) poszukujemy w postaci

$$\begin{cases} X_0 = A_1 \cos \tau + A_2 \sin \tau, \\ Z_0 = B_1 \cos \tau + B_2 \sin \tau. \end{cases}$$

Podstawiając założoną postać rozwiązania do (2.6) uzyskamy dwa algebraiczne układy równań

$$\begin{cases} (\beta_0 - \theta_0^2) A_1 - \beta_1 B_1 = 0, & (\beta_0 - \theta_0^2) A_2 - \beta_1 B_2 = 0, \\ -\gamma_1 A_1 + (\gamma_0 - \theta_0^2) B_1 = 0, & -\gamma_1 A_2 + (\gamma_0 - \theta_0^2) B_2 = 0; \end{cases}$$

stąd warunek istnienia niezerowego rozwiązania ma postać

$$\begin{vmatrix} \beta_0 - \theta_0^2 & -\beta_1 \\ -\gamma_1 & \gamma_0 - \theta_0^2 \end{vmatrix} = 0.$$

Rozwinięcie wyznacznika daje równanie dwukwadratowe na częstość drgań własnych układu zlinearyzowanego ($b = 0$), mianowicie

$$(\theta_0^2)^2 - (\beta_0 + \gamma_0)\theta_0^2 + \beta_0\gamma_0 - \beta_1\gamma_1 = 0,$$

skąd

$$(2.11) \quad \theta_0^2 = \frac{\beta_0 + \gamma_0}{2} \pm \sqrt{\left(\frac{\beta_0 - \gamma_0}{2}\right)^2 + \beta_1\gamma_1}.$$

Układ zlinearyzowany ma dwa szczególne rozwiązania harmoniczne o częstościach określonych wzorem (2.11). Pierwsza wyższa częstość (znak +) odpowiada drganiom podłużnym, druga niższa częstość (znak -) drganiom poprzecznym powłoki. Drgania te zachodzą dla ściśle określonych wartości współczynnika postaci drgań własnych

$$\lambda = \frac{A_1}{B_1} = \frac{A_2}{B_2}.$$

Wartości te wyznaczamy ze związku

$$(2.12) \quad \lambda = \frac{\beta_1}{\beta_0 - \theta_0^2} = \frac{\gamma_0 - \theta_0^2}{\gamma_1}.$$

Ponieważ $A_1 = \lambda B_1$, $A_2 = \lambda B_2$, więc dla warunków początkowych $Z_0(0) = B$, $\dot{Z}_0(0) = 0$, mamy $B_1 = B$, $A_1 = \lambda B$, $B_2 = 0$, $A_2 = 0$. Ostatecznie rozwiązanie szczególne układu zlinearyzowanego (2.6) ma postać

$$(2.13) \quad X_0 = \lambda B \cos \tau, \quad Z_0 = B \cos \tau.$$

Po podstawieniu powyższego rozwiązania do układu (2.7) uzyskujemy układ równań

$$(2.14) \quad \begin{cases} \theta_0^2 \frac{d^2 X_1}{d\tau^2} + \beta_0 X_1 - \beta_1 Z_1 = P_1 \cos \tau + P_2 \cos 3\tau, \\ \theta_0^2 \frac{d^2 Z_1}{d\tau^2} + \gamma_0 Z_1 - \gamma_1 X_1 = R_1 \cos \tau + R_2 \cos 3\tau, \end{cases}$$

gdzie $P_1 = \lambda B \theta_1 + 3B^3 p_1$, $P_2 = B^3 p_1$, $R_1 = B \theta_1 + 3B^3 r_1$, $R_2 = B^3 r_1$,

zaś

$$p_1 = \frac{1}{4}(\beta_2 \lambda^3 - \beta_3 \lambda^2 + \beta_4 \lambda - \beta_5),$$

$$r_1 = \frac{1}{4}(-\gamma_2 \lambda^3 + \gamma_3 \lambda^2 - \gamma_4 \lambda + \gamma_5).$$

Aby uzyskać periodyczne rozwiązanie powyższego układu, zakładamy rozwiązanie szczególne w postaci

$$X_1 = C_1 \cos \tau + C_2 \cos 3\tau + C_3 \sin \tau + C_4 \sin 3\tau,$$

$$Z_1 = D_1 \cos \tau + D_2 \cos 3\tau + D_3 \sin \tau + D_4 \sin 3\tau,$$

które po podstawieniu do (2.14) dają cztery algebraiczne układy równań:

$$(2.15) \quad \begin{aligned} (\beta_0 - \theta_0^2)C_1 - \beta_1 D_1 &= P_1, & (\beta_0 - 9\theta_0^2)C_2 - \beta_1 D_2 &= P_2, \\ -\gamma_1 C_1 + (\gamma_0 - \theta_0^2)D_1 &= R_1, & -\gamma_1 C_2 + (\gamma_0 - 9\theta_0^2)D_2 &= R_2, \\ (\beta_0 - \theta_0^2)C_3 - \beta_1 D_3 &= 0, & (\beta_0 - 9\theta_0^2)C_4 - \beta_1 D_4 &= 0, \\ -\gamma_1 C_3 + (\gamma_0 - \theta_0^2)D_3 &= 0, & -\gamma_1 C_4 + (\gamma_0 - 9\theta_0^2)D_4 &= 0. \end{aligned}$$

Wyznaczniki charakterystyczne układów równań (2.15)₁ i (2.15)₃ są równe zeru. Warunek istnienia rozwiązań układu (2.15)₁ ma więc postać

$$\begin{vmatrix} P_1 & -\beta_1 \\ R_1 & \gamma_0 - \theta_0^2 \end{vmatrix} = \begin{vmatrix} \beta_0 - \theta_0^2 & P_1 \\ -\gamma_1 & R_1 \end{vmatrix} = 0,$$

stąd wykorzystując związek (2.12) mamy

$$P_1 \lambda \gamma_1 + R_1 \beta_1 = 0.$$

Po podstawieniu P_1 i R_1 uzyskujemy warunek

$$(\lambda B \theta_1 + 3B^3 p_1) \lambda \gamma_1 + (B \theta_1 + 3B^3 r_1) \beta_1 = 0,$$

z którego wyznaczamy

$$(2.16) \quad \theta_1 = -B^2 \vartheta_1,$$

gdzie

$$\vartheta_1 = \frac{3(\lambda \gamma_1 p_1 + \beta_1 r_1)}{\lambda^2 \gamma_1 + \beta_1}.$$

Dla wyznaczonej wartości θ_1 równania układu (2.15)₁ są liniowo zależne. Między stałymi C_1 i D_1 zachodzi związek

$$C_1 = \lambda \left(\frac{3(p_1 - \lambda r_1)}{\lambda^2 \gamma_1 + \beta_1} B^3 + D_1 \right).$$

Podobnie równania układu (2.15)₃ są liniowo zależne, stąd związek między stałymi

$$C_3 = \lambda D_3.$$

Z układu równań (2.15)₂ wyznaczamy stałe C_2 i D_2 , otrzymując

$$C_2 = B^3 x_2, \quad D_2 = B^3 z_1,$$

gdzie

$$\begin{aligned} x_2 &= \frac{e_2 p_1 + \beta_1 r_1}{e_1 e_2 - \beta_1 \gamma_1}, & e_1 &= \beta_0 - 9\theta_0^2, \\ & & e_2 &= \gamma_0 - 9\theta_0^2, \\ z_1 &= \frac{\gamma_1 p_1 + e_1 r_1}{e_1 e_2 - \beta_1 \gamma_1}. \end{aligned}$$

Analogicznie z równań (2.15)₄ mamy

$$C_4 = D_4 = 0.$$

Wykorzystując warunki początkowe $Z_1(0) = 0$, $\dot{Z}_1(0) = 0$ dostaniemy

$$D_1 + D_2 = 0, \quad D_3 + 3D_4 = 0,$$

stąd

$$D_1 = -D_2 = -B^3 z_1 \quad \text{oraz} \quad D_3 = -3D_4 = 0.$$

Posługując się wyznaczonymi wartościami stałych D_1 i D_3 uzyskujemy

$$\begin{aligned} C_1 &= B^3 x_1 \quad \text{tu} \quad x_1 = \lambda \left(\frac{3(p_1 - \lambda r_1)}{\lambda^2 \gamma_1 + \beta_1} - z_1 \right), \\ C_3 &= 0. \end{aligned}$$

Rozwiązanie szczególne układu (2.14) ma więc postać

$$(2.17) \quad \begin{cases} X_1 = B^3(x_1 \cos \tau + x_2 \cos 3\tau), \\ Z_1 = B^3 z_1 (\cos 3\tau - \cos \tau). \end{cases}$$

Podobnie postępując uzyskujemy

$$(2.18) \quad \begin{cases} X_2 = B^5(x_3 \cos \tau + x_4 \cos 3\tau + x_5 \cos 5\tau), \\ Z_2 = B^5[z_2(\cos 3\tau - \cos \tau) + z_3(\cos 5\tau - \cos \tau)], \end{cases}$$

dla $\theta_2 = -B^4 \vartheta_2$, gdzie

$$(2.19) \quad \begin{aligned} \vartheta_2 &= \frac{\lambda \gamma_1 p_2 + \beta_1 r_2}{\lambda^2 \gamma_1 + \beta_1}, & x_3 &= \lambda \left(\frac{p_2 - \lambda r_2}{\lambda^2 \gamma_1 + \beta_1} - z_2 - z_3 \right), \\ z_2 &= \frac{\gamma_1 p_3 + e_1 r_3}{e_1 e_2 - \beta_1 \gamma_1}, & x_4 &= \frac{e_2 p_3 + \beta_1 r_3}{e_1 e_2 - \beta_1 \gamma_1}, \\ z_3 &= \frac{\gamma_1 p_4 + e_3 r_4}{e_3 e_4 - \beta_1 \gamma_1}, & x_5 &= \frac{e_4 p_4 + \beta_1 r_4}{e_3 e_4 - \beta_1 \gamma_1}, \end{aligned}$$

przy czym

$$e_3 = \beta_0 - 25\theta_0^2,$$

$$e_4 = \gamma_0 - 25\theta_0^2,$$

$$p_2 = -x_1 \vartheta_1 + (3x_1 + x_2)p_5 - 2z_1 p_6, \quad r_2 = z_1 \vartheta_1 + (3x_1 + x_2)r_5 - 2z_1 r_6,$$

$$p_3 = -9x_2 \vartheta_1 + (x_1 + 2x_2)p_5 + z_1 p_6, \quad r_3 = -9z_1 \vartheta_1 + (x_1 + 2x_2)r_5 + z_1 r_6,$$

$$p_4 = x_2 p_5 + z_1 p_6, \quad r_4 = x_2 r_5 + z_1 r_6,$$

$$p_5 = \frac{1}{4}(3\beta_2 \lambda^2 - 2\beta_3 \lambda + \beta_4), \quad r_5 = \frac{1}{4}(-3\gamma_2 \lambda^2 + 2\gamma_3 \lambda - \gamma_4),$$

$$p_6 = \frac{1}{4}(-\beta_3 \lambda^2 + 2\beta_4 \lambda - 3\beta_5), \quad r_6 = \frac{1}{4}(\gamma_3 \lambda^2 - 2\gamma_4 \lambda + 3\gamma_5).$$

rakteryzujące drgania jednego rodzaju (podłużne lub poprzeczne) zależą od następujących pięciu parametrów:

m oznacza liczbę określającą ilość półfal na długości powłoki, μ — stosunek najmniejszego promienia krzywizny powłoki do jej długości, β — połowę kąta wierzchołkowego stożka, χ — stosunek grubości powłoki do jej długości, ν — liczbę Poissona.

Pozostałe parametry:

a_3 — współczynnik określający nieliniowość materiału (1.4), E — moduł Younga, ρ — gęstość materiału powłoki, l — długość powłoki mierzona wzdłuż tworzącej — zawarte są w bezwymiarowych współrzędnych

$$A = a_3 E^2 \left(\frac{W_{\max}}{l} \right)^2, \quad \theta^2 = \frac{\rho l^2 \omega^2}{E},$$

gdzie W_{\max} jest amplitudą drgań poprzecznych (giętych), ω — pulsacją podstawową drgań rozważanej powłoki.

Materiałom o «miękkich» charakterystykach ($a_3 > 0$) odpowiada część wykresu dla $A > 0$, materiałom liniowo sprężystym ($a_3 = 0$) odpowiada $A = 0$, materiałom o «sztywnych» charakterystykach ($a_3 < 0$) odpowiada część wykresu dla $A < 0$.

Jako przykład naszych rozważań przeanalizujemy drgania własne powłok stożkowych (przy $m = 1$) o następujących wartościach parametrów:

$$\mu = 0,5, \quad \text{tg} \beta = 0,2, \quad \chi = 4 \cdot 10^{-3}, \quad \nu = 0,3.$$

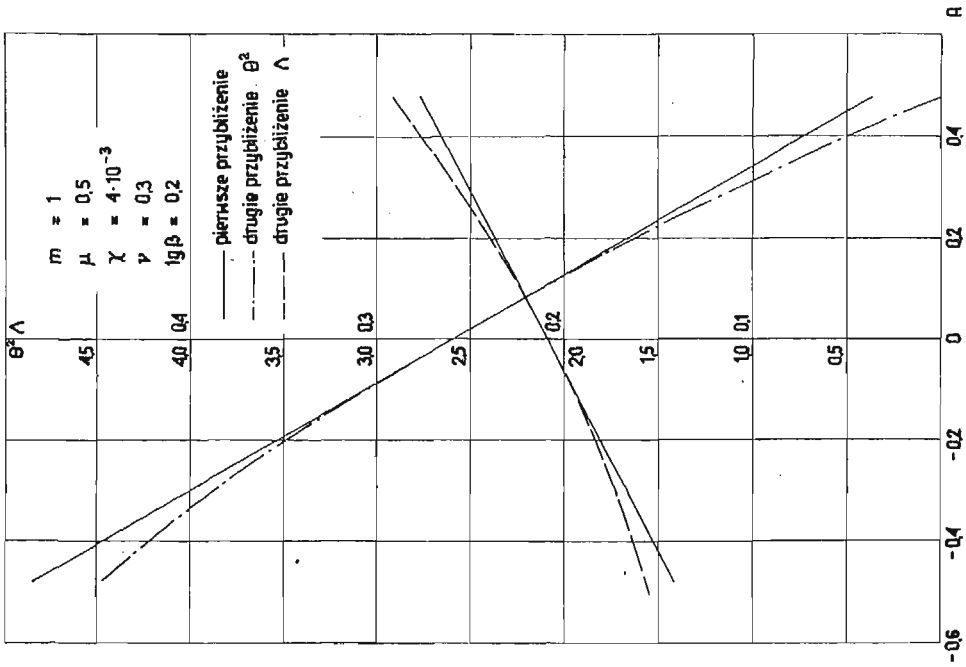
Na rys. 1 przedstawiono wykresy funkcji $A(A)$ oraz $\theta^2(A)$ dla drgań podłużnych, na rys. 2 dla drgań poprzecznych. Drgania podłużne charakteryzują się znacznie wyższą częstotliwością drgań od drgań poprzecznych. Oczywiście dla drgań podłużnych zachodzi związek $|A| > 1$, natomiast dla drgań poprzecznych $|A| < 1$. Jak wynika z przytoczonego przykładu dla charakterystyk «miękkich» ze wzrostem amplitudy częstość maleje, dla «sztywnych» — rośnie. Cecha ta jest silniejsza dla materiałów o większym współczynniku $|a_3|$.

Wpływ parametrów μ oraz β na drgania poprzeczne przy niezmiennych wartościach pozostałych parametrów ilustrują odpowiednio rys. 3 i 4. Przy $\beta = 0$ uzyskujemy charakterystyki dla powłoki walcowej.

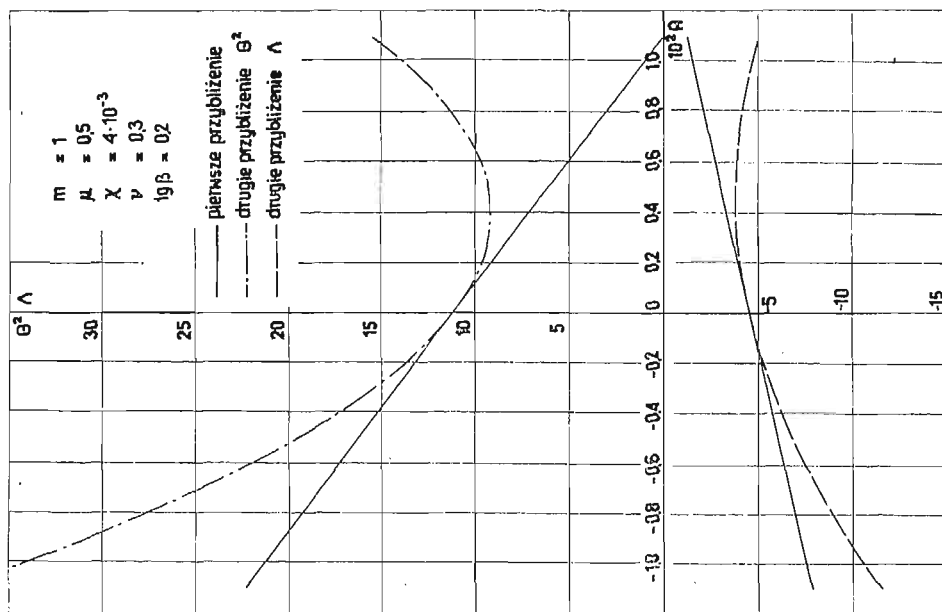
Zmiany parametru χ w zakresie od $2 \cdot 10^{-3}$ do $8 \cdot 10^{-3}$ nie wpływają na zmianę wartości analizowanych funkcji.

Ścisłość materiału dość znacznie wpływa na częstość drgań własnych oraz na współczynnik postaci drgań własnych, w przypadku materiału nieliniowo sprężystego. W przypadku materiału podlegającego prawu Hooke'a ścisłość materiału wpływa w małym stopniu na częstość drgań własnych. Wpływ ścisłości na analizowane funkcje w przypadku drgań poprzecznych przedstawia rys. 5. Przyjmowanie założenia upraszczającego, iż materiał powłoki jest nieściśliwy, może być przyczyną dużych błędów w przypadku zastosowania uproszczonej teorii do analizy drgań powłok wykonanych z materiałów nieliniowo sprężystych.

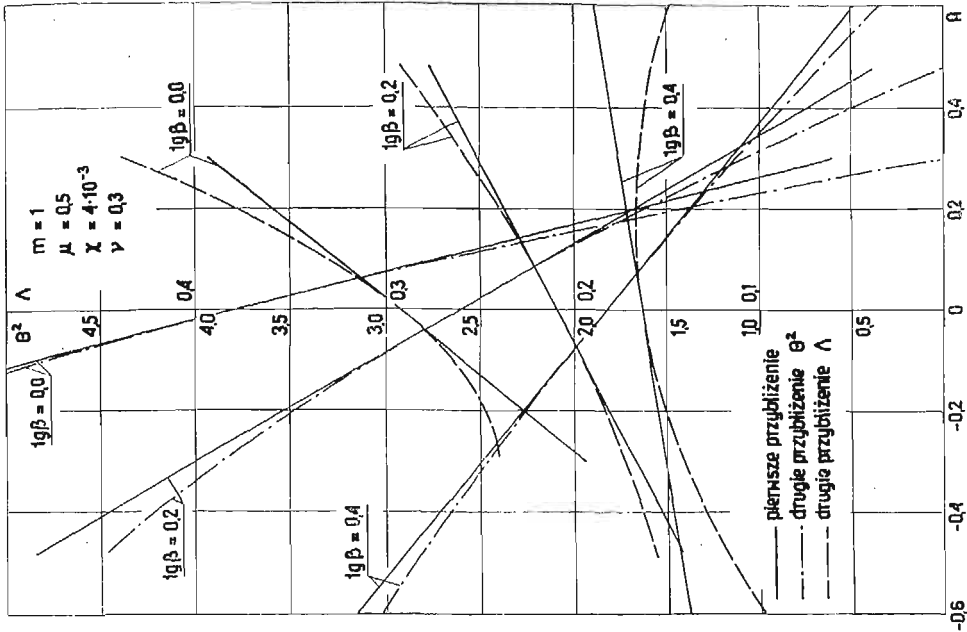
Zjawisko zmiany częstości drgań własnych ze zmianą amplitudy ma duże znaczenie w przypadku drgań wymuszonych, a w szczególności w przypadku rezonansu.



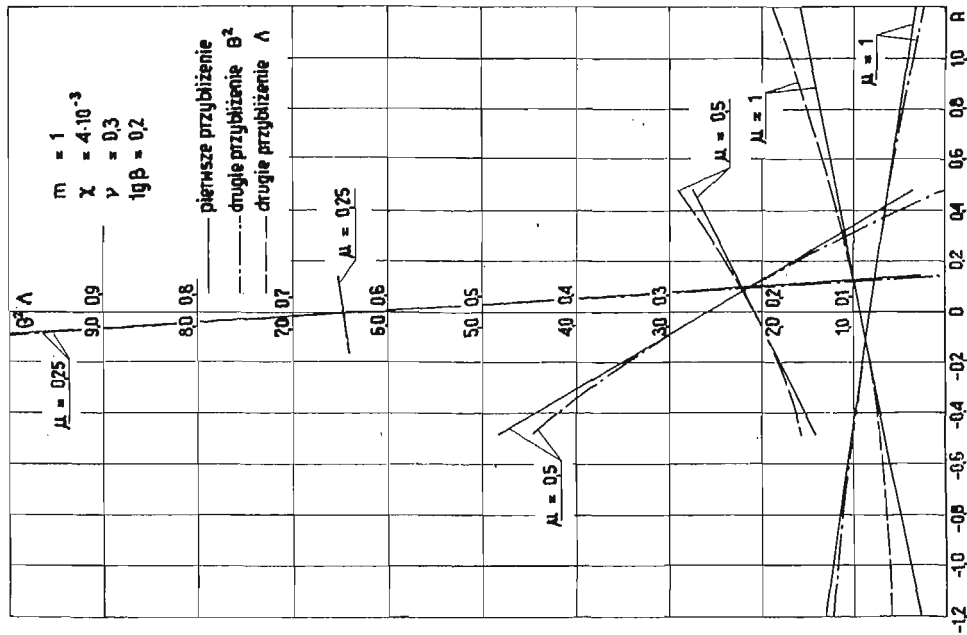
Rys. 2



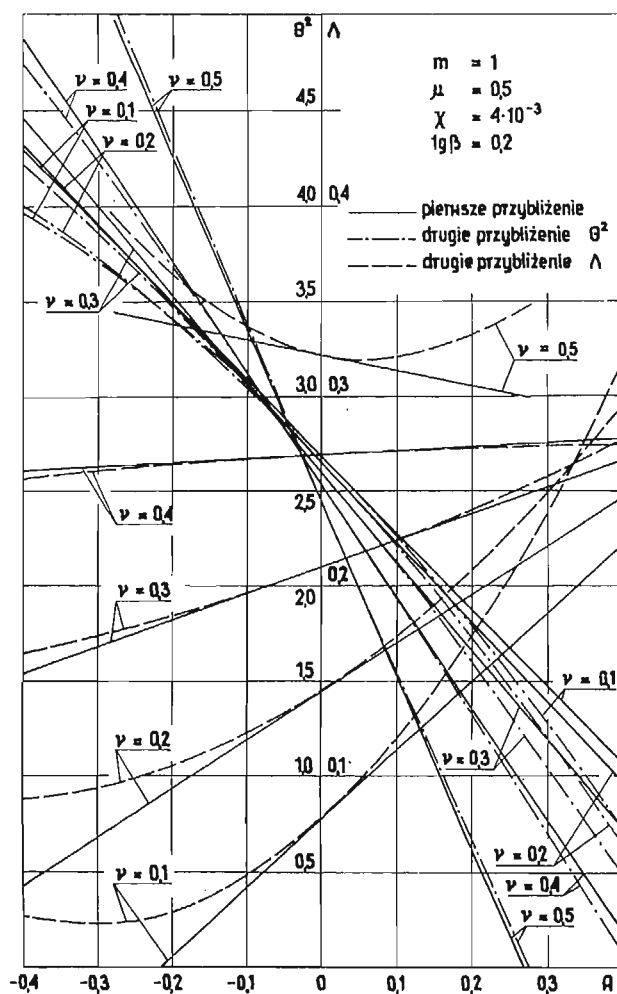
Rys. 1



Rys. 4



Rys. 3



Rys. 5

Literatura cytowana w tekście

1. H. KAUDERER, *Nichtlineare Mechanik*, Berlin 1958.
2. N. MINORSKI, *Drgania nieliniowe*, Warszawa 1967.
3. Ю. Ю. ТРАПЕЗИН, *О малых колебаниях круговой тонкостенной конической оболочки*, Расчеты на прочность, в. 2, Москва 1958.
4. P. TWARDOSZ, *Osiowo-symetryczne drgania nieliniowo-sprężystej powłoki stożkowej*, Poznańskie Towarzystwo Przyjaciół Nauk, zeszyt 8, Poznań 1971.
5. В. С. ВЛАСОВ, *Общая теория оболочек*, Москва 1949.

Резюме

СОБСТВЕННЫЕ КРУГОСИММЕТРИЧЕСКИЕ КОЛЕБАНИЯ КОНИЧЕСКОЙ ОБОЛОЧКИ ИЗ СЖИМАЕМОГО НЕЛИНЕЙНО-УПРУГОГО МАТЕРИАЛА

В работе исследуются собственные колебания (с круговой симметрией) свободно опертой по краям тонкой оболочки в виде усеченного конуса из однородного, изотропного, линейно упругого, сжимаемого материала. При ограничении анализа к случаю малых колебаний, допустимо исполь-

зование геометрически линейных зависимостей. Получена система двух нелинейных дифференциальных уравнений с частными производными четвертого порядка, определяющих продольные и поперечные колебания. Уравнения сведены методом Бубнова-Галеркина к обыкновенным дифференциальным уравнениям. При предложении о слабой нелинейности, уравнения решены с помощью метода малого параметра. Решения ограничивались ко второму приближению. Полученные решения, иллюстрирующие влияние упругой нелинейности на колебания оболочки, представлены графически.

Summary

ROTATIONALLY SYMMETRIC FREE VIBRATIONS OF A CONICAL SHELL MADE OF COMPRESSIBLE, NON-LINEAR ELASTIC MATERIAL

The paper deals with the analysis of rotationally free vibrations of a thin truncated conical shell, simply supported on both edges. The material of the shell is assumed to be homogeneous, isotropic, non-linear elastic and compressible. The problem is limited to the analysis of small vibrations what makes it possible to use the linear geometric relations. As a result, the system of partial differential equations of fourth order is obtained describing the longitudinal and transverse vibrations. By applying the variational Bubnov-Galerkin method, partial equations are reduced to the ordinary differential equations. Assuming weak non-linearity, the equations are then solved by the perturbation method, the solution being limited only to second approximation. The equations obtained describing the influence of elastic non-linearity of the material on the vibrations of the shell have been presented graphically.

POLITECHNIKA POZNAŃSKA, POZNAŃ

Praca została złożona w Redakcji dnia 8 listopada 1974 r.
